

# بهسازی لرزه‌یی ساختمان‌های بتن‌مسلح با تغییر محل تشکیل مفصل خمیری به کمک دستک فولادی

شنبه ۲۶ شهریور، آستانه ۱۴۰۰  
دریچه ۲۰۰۰ شماره ۱۷۳  
دستگاه آزاد اسلامی، سمنان، ایران

علی خیوائین (استاد)

دانشکده‌ی مهندسی عمران، دانشگاه سمنان

علی‌رضا مرتضایی \* (دانشیار)

گروه مهندسی عمران، واحد سمنان، دانشگاه آزاد اسلامی، سمنان، ایران

رسول محمودی (دانشجوی کارشناسی ارشد)

دانشکده‌ی مهندسی عمران، دانشگاه آزاد اسلامی واحد کاشان

بسته به شدت نیروی زلزله، نواحی با تغییر شکل غیرکشسان یا به بیان دیگر، مقاصل خمیری در تیرها و ستون‌های بتن‌مسلح شکل می‌گیرند. بعد از زلزله، به منظور حفظ یکپارچگی ساز، و عملکرد مورد انتظار از ساز، این جزء سازی باید ترمیم و یا تعویض شوند. بدليل هزینه بالای تعویض، معمولاً گزینه‌ی ترمیم انتخاب می‌شود. سیستم مهاربند فولادی می‌تواند به طور مؤثر در ترمیم ساختمان‌های بتن‌مسلح آسیب‌دیده و بهسازی سازه‌های موجود مورد استفاده قرار گیرد. در این پژوهش، به صورت تحلیلی و عددی به بررسی پارامترهای مختلف تأثیر دستک فولادی در مقاوم سازی و ترمیم قاب‌های خمیری بتن‌مسلح از قبیل: درصد چذب برش، تغییر مکان جانبی نسبی، و محل تشکیل مقاصل خمیری پرداخته شده است. همچنین تأثیر محل قرارگیری دستک فولادی، سطح مقطع دستک و اندازه‌ی دهانه‌ها در مدل‌های مختلف با تحلیل دینامیکی طیفی و تحلیل با رافزون مورد مطالعه قرار گرفته است. نتایج تحلیل نشان می‌دهند که روش پیشنهادی تغییر محل تشکیل مفصل خمیری به کمک دستک فولادی، مشکلات ضعف سختی، کاهش مقاومت و ظرفیت تغییر مکان سازه‌های ضعیف و آسیب‌دیده، را در حین زلزله جبران می‌کند.

kheyreddin@semnan.ac.ir  
a.mortezaei@semnaniau.ac.ir  
rm\_mahmoudi@yahoo.com

واژگان کلیدی: مفصل خمیری، دستک فولادی، مقاوم سازی، ترمیم، ساختمان بتن مسلح.

## ۱. مقدمه

ممکن است به صورت مستقیم یا غیرمستقیم به قاب بتن‌مسلح متصل شوند. در مهاربندهای داخلی غیرمستقیم، موقعیت مهاربندهای فولادی در درون قاب بتن مسلح است که انتقال بار بین مهاربند فولادی و قاب بتنی به طور غیرمستقیم و از طریق راط فولادی انجام می‌شود،<sup>[۱]</sup> ولی در مهاربندهای داخلی مستقیم، انتقال نیرو مستقیماً از مهاربند فلزی به قاب بتنی صورت می‌گیرد.

برخی پژوهشگران در پژوهش خود (۱۹۹۵)<sup>[۲]</sup> عملکرد سیستم بادبندی فولادی برای افزایش مقاومت لرزه‌یی قاب‌های بتن‌مسلح را به روش آزمایشگاهی مطالعه کرده و نتایج آن‌ها نشان داده است که مهاربندهای قطعی برای تأمین مقاومت و سختی ساختمان‌های موجود در برابر بارهای جانبی بسیار خوب عمل می‌کنند. در پژوهش دیگری نیز (۲۰۰۳)،<sup>[۳]</sup> ۶ نمونه با مقیاس یک سوم که یک قسمت از یک قاب ۴ طبقه با ۳ دهانه بوده است، در حالت قاب خمیری شکل پذیر و قاب خمیری با مهاربند ضرب دری و مهاربند زانویی با اتصال مستقیم، مورد آزمایش قرار گرفته و نتایج نشان داده است که با مهاربندی می‌توان ظرفیت تسلیم و مقاومت نهایی قاب خمیری را افزایش و تغییر مکان آن را کاهش داد. مهاربند ضرب دری سختی

معمولًا در سازه‌های فولادی، سیستم مهاربند فولادی به منظور افزایش مقاومت و سختی در برابر بارهای جانبی مورد استفاده قرار می‌گیرد. در سال‌های اخیر، مفهوم مهاربند فولادی برای تقویت قاب‌های بتنی مسلح هم به کار برده شده است. افزایش انعطاف‌پذیری در طراحی معماری، کاهش وزن سازه، آسانی و سرعت ساخت و ساز و قابلیت انتخاب چندین سیستم را می‌توان از اصلی‌ترین مزیت‌های مهاربند فولادی در مقایسه با سیستم دیوار برپی قاب‌های بتن‌مسلح دانست.

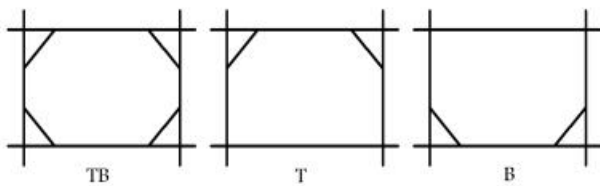
معمولًا دو نوع سیستم مهاربندی شده مورد استفاده قرار می‌گیرد: خارجی و داخلی. در مهاربندهای خارجی، خرپاهای فولادی و قاب‌ها به هم متصل می‌شوند و به عنوان یک تکیهگاه سراسری در سازه‌ی خارجی و یا به صورت موضعی به عنوان فقط قاب سازه‌یی عمل می‌کنند. در مهاربندهای داخلی، اعضاء فولادی مهاربند در جاهای خالی میان ستون‌ها و تیرهای قاب بتن‌مسلح قرار می‌گیرند. مهاربندها

\* نویسنده مسئول

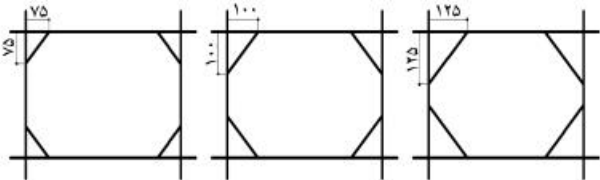
تاریخ: دریافت ۲۳ مرداد ۱۳۹۲، اصلاحیه ۳۷، پذیرش ۳ مرداد ۱۳۹۳.



شکل ۱. عکس‌های اجرایی از سیستم مورد مطالعه.



شکل ۲. سه نوع چیدمان دستگ در قاب.



شکل ۳. فاصله‌های متفاوت محل اتصال دستک به تیر یا ستون از مرکز اتصال تیر و ستون.

ب) به نظر بررسی تأثیر فاصله‌ای اتصال دستک با تیر و ستون از محل اتصال تیر و ستون، فاصله‌های ۷۵، ۱۰۰ و ۱۲۵ سانتی‌متر استفاده شده است (شکل ۳).

ج) به منظور بررسی تأثیر سطح مقطع دستک در رفتار سازه از دستک های با مساحت A،  $A/3$  و  $A/9$  استفاده شده است.

ابتداء منظور بررسی تفاوت های ویریش های مختلف آینین نامه های طراحی ساختمان ها در باره زلزله (استاندارد ۲۸۰۰ ایران)،<sup>[۶]</sup> سازه های بدون دستک مدل و مقاسه

ابتداءً به متنظر بررسی تفاوت‌های ویرایش‌های مختلف آینین نامه‌ی طراحی ساختمان‌ها در پیرا زلزله (استاندارد ۲۸۰۰ ایران)،<sup>[۶]</sup> سازه‌های بدون دستک مدل و مقایسه شده‌اند. نامگذاری فایل‌ها طبق جدول ۱ صورت گرفته و معنای حروف و اعداد موجود در نام فایل‌ها در جدول ۲ مشخص شده است. مثلاً فایل KTB۷۵ALV۳ مربوط به ساختمان با سیستم مقاوم جاتی قاب خمینی بتن مسلح است، که با دستک فولادی تقویت شده (K)، دستک در بالا و پایین مدل شده (TB)، و فاصله‌ی محل اتصال آن با تیریا سنتون ۷۵ سانتی‌متر تا مرکز اتصال تیر و سنتون است. سطح مقطع دستک پیرا A، یعنی، همان مقطع اولیه‌ی طراحی، شده و از نوع تحلیل خطی (L) است.

سازه را افزایش، و شکل پذیری آن را کاهش می‌دهد. ظرفیت باربری یا اضافه‌شدن مهاربند ضریب‌ری،  $3/5$  برابر و با اضافه‌شدن مهاربند زاویه،  $2/5$  برابر افزایش می‌یابد.

برخی پژوهشگران نیز در سال ۱۵<sup>[۷]</sup> به بررسی آزمایشگاهی ۵ نوع مهاریند در قاب خمثی بتن مسلح، که با مقیاس یک سوم ساخته شده بودند، پرداختند و آنها را تحت بارگذاری چرخه‌یی قرار دادند. نتایج این پژوهش نشان داده است که ظرفیت نهایی سازه‌های قاب خمثی بتن مسلح ضعیف طراحی شده یا ضعیف اجراشده را می‌توان به کمک مهاریندی فولادی ساده ارتقاء داد و مقاومت جاتی سازه را می‌توان به راحتی تا رسیدن به ۲۰٪ مقاومت نهایی و ۵٪ تغییر مکان جاتی نسبی طبقات نگه داشت و میزان اتلاف ارزی سازه با به کارگیری مهاریند های ساده‌ی فولادی به طور قابل ملاحظه‌یی افزایش می‌یابد. در پژوهش دیگری نیز در سال ۱۵<sup>[۸]</sup> به مطالعه در رابطه با تقویت اتصال تیر و ستون بتن مسلح با دستک فولادی پرداخته شده است.

در این پژوهش ۲ نمونه‌ی آزمایشگاهی اتصال تیر و ستون با ارتفاع تیر متفاوت مورد مطالعه و تا حد مقاومت نهایی آنها، تحت بارگذاری چرخه‌یی قرار گرفته‌اند. سپس ۲ نمونه‌ی ترمیم و با دستک فولادی تقویت شده و مجدداً با همان شرایط نمونه‌های اول مورد آزمایش قرار گرفته‌اند. نتایج نشان داده است که کاهش ۲۵٪ ارتفاع تیر موجب افزایش خیز تیر، کاهش شکل پذیری ۳۳٪/ کاهش در ظرفیت نهایی ۲۶٪/ کاهش در اتلاف انرژی می‌شود. با تقویت اتصال با دستک فولادی بار نهایی تا ۸٪ افزایش یافته، اتلاف انرژی افزایش یافته و ترکها به میزان کمیته می‌رسد. در این پژوهش، ۲ گروه سازه‌های آسیب دیده در حین زلزله و سازه‌های ضعیف مجدداً تحلیل شده‌اند و نتایج نشان داده است که طبق ضوابط موجود، سازه‌های مذکور معيارهای عملکرد را برآورده نمی‌کنند و ضعیف تلقی می‌شوند. سپس به منظور ترمیم و مقاوم‌سازی از دستک‌های فلزی در حالت‌های مختلف استفاده و به صورت تحلیلی و عددی به بررسی تغییرات در پارامترهای مختلف سازه‌هایی که به کمک دستک‌های فولادی ترمیم و تقویت شده‌اند، پرداخته شده است. لازم به یادآوری است که سیستم مقاوم‌سازی پیشنهادی در حالت‌های از نوع مهاربریدی داخلی با اتصال مستقیم است. این تحلیل‌ها بر روی مدل‌های با شرایط متفاوت انجام شده و به بررسی پارامترهایی از قبیل درصد جذب برش، تغییر مکان جانی و نسبی انتشار، نمودارهای برشی و خمشی در محدوده‌ی خطی سازه‌ها و همچنین روند و محل تشکیل مفاصل خمیری و میزان اتلاف انرژی در محدوده‌ی غیرخطی سازه‌ها پرداخته و منحنی‌های بارافزون ارائه شده است. همچنین تأثیر عواملی چون محل قرارگیری دستک فولادی، تغییر در سطح مقطع دستک، اندازی دهانه‌ها روی پارامترهای مذکور با تحلیل دینامیکی طیفی و تحلیل بارافزون مورد مطالعه قرار گرفته است.

## ٢. مع فرستنده مطالعه و فضیلت تحلیل

سیستم مورد مطالعه از نوع مهاربندی داخلی با اتصال مستقیم است (شکل ۱). برای رسیدن به اهداف پژوهش از ۱۵ مدل سازی‌بی استفاده شده است، که این مدل‌ها به صورت ترتیبی به این شرح هستند:

الف) بهمنظور بررسی تأثیر محل قرارگیری دستکها در قاب، از سه نوع چیدمان یکطرفه در بالا (T)، یکطرفه در پایین (B)، و دو طرفه در بالا و پایین (TB) طبق شکل ۲ استفاده شده است.

جدول ۱. نامگذاری سازه های تحلیل شده.

نام سازه	مقادیر جانبی	نوع سیستم	محل قرارگیری دستک	سطع مقطع دستک	فاصله می محل اتصال	بر حسب فرض اولیه‌ی طراحی	دستک با تیر یا ستون تا مرکز اتصال تیر و	نوع تحلیل	استاندارد تحلیل مورد استفاده	شکل ۵
						A	(cm)			
a	۲۸۰۰ - ۲	خطی	بدون دستک	بدون دستک	بدون دستک	بدون دستک	بدون دستک	بدون دستک	استاندارد تحلیل	شکل ۵
a	۲۸۰۰ - ۳	خطی	بدون دستک	بدون دستک	بدون دستک	بدون دستک	بدون دستک	بدون دستک	متوجه	
b	۲۸۰۰ - ۳	خطی	مساحت A		۱۰۰	بالا و پایین	بالا و پایین	بالا و پایین	متوجه	KTBV۰۰ALV۳
c	۲۸۰۰ - ۳	خطی	مساحت A		۱۰۰	بالا	بالا	بالا	متوجه	KTV۰۰ALV۳
d	۲۸۰۰ - ۳	خطی	مساحت A		۱۰۰	پایین	بالا و پایین	بالا و پایین	متوجه	KBV۰۰ALV۳
c	۲۸۰۰ - ۳	خطی	مساحت A		۷۵	بالا و پایین	بالا و پایین	بالا و پایین	متوجه	KTBV۰۵ALV۳
b	۲۸۰۰ - ۳	خطی	مساحت A		۱۲۵	بالا و پایین	بالا و پایین	بالا و پایین	متوجه	KTBV۲۵ALV۳
b	۲۸۰۰ - ۳	خطی	مساحت ۲A		۱۰۰	بالا و پایین	بالا و پایین	بالا و پایین	متوجه	KTBV۰۰A۳LV۳
b	۲۸۰۰ - ۳	خطی	مساحت A/۳		۱۰۰	بالا و پایین	بالا و پایین	بالا و پایین	متوجه	KTBV۰۰Ad۳LV۳
a	۳۶°	نشریه	غیرخطی	بدون دستک	بدون دستک	بدون دستک	بدون دستک	بدون دستک	متوجه	M۰۰۰N۳۶°
b	۳۶°	نشریه	غیرخطی	مساحت A	۱۰۰	بالا و پایین	بالا و پایین	بالا و پایین	متوجه	KTBV۰۰AN۳۶°
c	۳۶°	نشریه	غیرخطی	مساحت A	۱۰۰	بالا	بالا	بالا	متوجه	KTV۰۰AN۳۶°
d	۳۶°	نشریه	غیرخطی	مساحت A	۱۰۰	پایین	بالا و پایین	بالا و پایین	متوجه	KBV۰۰AN۳۶°
b	۳۶°	نشریه	غیرخطی	مساحت A	۷۵	بالا و پایین	بالا و پایین	بالا و پایین	متوجه	KTBV۰۵AN۳۶°
b	۳۶°	نشریه	غیرخطی	مساحت A	۱۲۵	بالا و پایین	بالا و پایین	بالا و پایین	متوجه	KTBV۲۵AN۳۶°

جدول ۲. معنای حروف و اعداد در نامگذاری فایل‌ها.

نامه ردی فرم دستک با وزن و بلوک بتن محل قرائی گری دستک ماقم جانبی نوع سیستم قامت ۱	محل اتصال دستک با تیر یا سنتون تا مرکز اتصال تیر و سنتون	فاصله‌ی محل اتصال دستک با تیر	سطح مقطع دستک بر حسب فرض اولیه‌ی طراحی A	نوع تحلیل	قسمت ۵	قسمت ۶
نامه ردی فرم دستک با وزن و بلوک بتن محل قرائی گری دستک ماقم جانبی نوع سیستم قامت ۱	فاصله‌ی محل اتصال دستک با تیر یا سنتون تا مرکز اتصال تیر و سنتون	فاصله‌ی محل اتصال دستک با تیر	سطح مقطع دستک بر حسب فرض اولیه‌ی طراحی A	نوع تحلیل	قسمت ۵	قسمت ۶
استاندارد تحلیل مورد استفاده	استاندارد A	استاندارد A	استاندارد A	استاندارد A	استاندارد A	استاندارد A
نامه ردی فرم دستک با وزن و بلوک بتن محل قرائی گری دستک ماقم جانبی نوع سیستم قامت ۱	استاندارد TB	استاندارد TB	استاندارد TB	استاندارد TB	استاندارد TB	استاندارد TB
نامه ردی فرم دستک با وزن و بلوک بتن محل قرائی گری دستک ماقم جانبی نوع سیستم قامت ۱	استاندارد K	استاندارد K	استاندارد K	استاندارد K	استاندارد K	استاندارد K
نامه ردی فرم دستک با وزن و بلوک بتن محل قرائی گری دستک ماقم جانبی نوع سیستم قامت ۱	استاندارد M	استاندارد M	استاندارد M	استاندارد M	استاندارد M	استاندارد M

مقدار نیروی زلزله وارد بر ساختمان براساس آین نامه‌ی طراحی ساختمان‌ها در برابر زلزله (استاندارد ۲۸۰۰ ایران، ویرایش ۲ و ۳) [۱۶] و به روش تحلیل دینامیکی طیفی محاسبه شده است. نوع خاک تیپ II در نظر گرفته شده است. ضریب رفتار R در محاسبه‌ی ضریب C زلزله برای سازه‌های قاب خمشی بتنی متوسط طبق استاندارد ۲۸۰۰ ویرایش ۲، برای ۸ در ویرایش ۳، برای ۷ در نظر گرفته شده است و چون برای سازه‌های قاب خمشی بتن مسلح، که با دستک فولادی تعویت شده است، مقدار ضریب R مشخص نیست، همان ضریب ۷ در نظر گرفته شده است. سازه‌ها در مناطق با لرزه‌خیزی بسیار زیاد با نسبت شتاب مبنای طرح  $\alpha = 35$  و زمان تناوب از روش فرمول تجربی و تحلیل مودال و همچنین ضریب برش پایه‌ی زلزله (C)، زلزله برای کلیه سازه‌ها در جدول ۳ محاسبه شده است. ابعاد سنتون‌ها و تیرها به گونه‌یی تعیین شده‌اند که کلیه ضوابط استاندارد ۲۸۰۰ ویرایش ۲ را پاسخ‌گو باشد و در طراحی اجزاء ساختمان از مبحث نهم مقررات ملی ساختمان [۱۷] و آین نامه‌ی ACI ۳۱۸-۰۸ [۱۸] استفاده شده است. نمونه‌یی از مشخصات سازه‌یی تیرها در جدول ۴ ارائه شده است.

پلان ساختمان‌ها با ابعاد  $22 \times 14.90$  متر است (شکل ۴). به علت کاربردی بودن طرح، ابعاد و دهانه‌ها به صورت واقعی و سازه به صورت متقاضی در نظر گرفته شده است. انتخاب دهانه‌هایی با چنین ابعادی به این دلیل است که تأثیر دستک‌ها در دهانه‌های کوچک‌تر و بزرگ‌تر بررسی و از دهانه‌های معمول در ساختمان‌های مسکونی استفاده شود. در جهت x، ۲ دهانه ۳/۲۰ متری، ۳ دهانه ۵/۲۰ متری، و در جهت y، ۲ دهانه ۴/۷۰ متری و یک دهانه ۵/۵۰ متری وجود دارد.

به منظور بارگذاری مقلی از مبحث ششم مقررات ملی استفاده شده است. [۱۹] کاربری ساختمان، مسکونی و بار زندگی طبقات برای  $7 \text{ kg/m}^2$  و بار برق با میزان تناوب از روش فرمول تجربی و تحلیل مودال و همچنین ضریب برش پایه‌ی زلزله (C)، زلزله برای کلیه سازه‌ها در جدول ۴ است. بار مرده‌ی طبقات،  $7 \text{ kg/m}^2$  و وجهت قرارگیری آنها مطابق شکل ۴ است. بار مرده‌ی طبقات،  $5 \text{ kg/m}^2$  و بار معادل تیغه‌ها،  $100 \text{ kg/m}^2$  است. ارتفاع طبقه‌ی همکف ۳/۵۰ متر و سایر طبقات ۳/۲۰ متر است.

مقاومت نمونه‌ی استوانه‌یی بتن  $f'_c = 210 \text{ kg/cm}^2$  و آرماتورهای طولی با  $f_y = 400 \text{ kg/cm}^2$  و آرماتور عرضی با  $f_u = 300 \text{ kg/cm}^2$  و فولاد دستک‌ها با  $f_w = 3700 \text{ kg/cm}^2$  و  $f_u = 2400 \text{ kg/cm}^2$  در نظر گرفته شده‌اند.

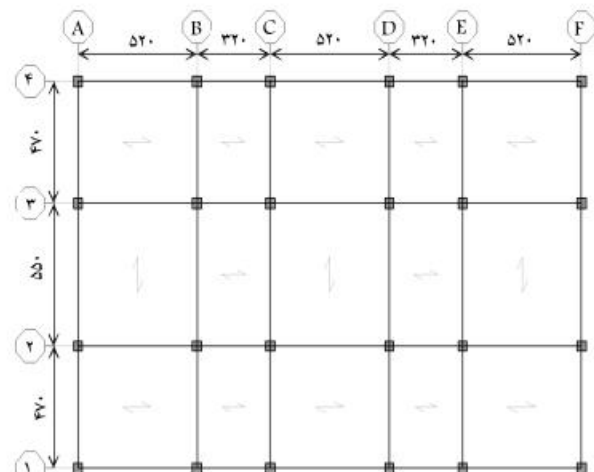
### ۳. تحلیل خطی

تحلیل خطی سازه‌ها به روش تحلیل دینامیکی طیفی اطلاعاتی درباره‌ی مقدار برش جذب شده توسط سنتون‌های متصل به دستک و سایر سنتون‌ها، تغییر مکان جانبی کلی و نسبی طبقات، تنش‌های ایجاد شده در اجزاء سازه‌یی، و نیروی طبقات ارائه می‌دهد. زمان تناوب سازه با استفاده از فرمول تجربی بند ۵-۴-۲-۶-۳-۲ ویرایش ۲ یا بند ۵-۴-۳-۲ ویرایش ۳ برای سازه‌های بدون دستک به صورت رابطه‌ی ۱ محاسبه شده است:

$$T = 0.07(H)^{7/7} = 0.07(13/1)^{7/7} = 0.482 \text{ sec} \quad (1)$$

زمان تناوب سازه با دستک نیز به صورت رابطه‌ی ۲ است:

$$T = 0.05(H)^{7/7} = 0.05(13/1)^{7/7} = 0.344 \text{ sec} \quad (2)$$



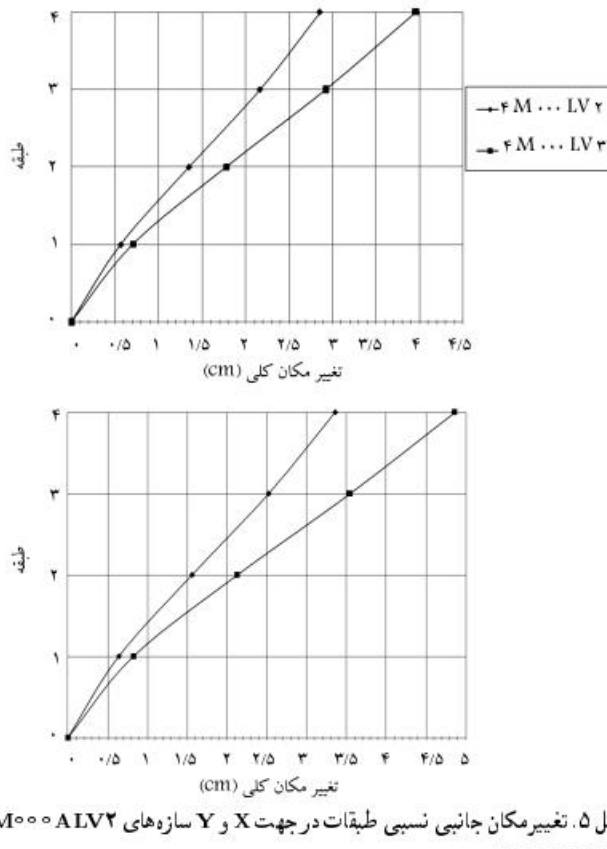
شکل ۴. پلان سازه‌ای مدل شده.

جدول ۳. پارامترهای مربوط به زمان تناوب و ضریب برش پایه‌ی زلزله.

نام سازه	ارتفاع سازه H(m)	فرمول تجزیی T	مودال X	زمان تناوب از Y	ضریب بازناب T	نمایی طرح A	ضریب شتاب B	ضریب رفتار R	ضریب زلزله C
M <sup>0.00</sup> LV <sup>2</sup>	۱۳/۰	۰/۴۸۲	۰/۹۶۱	۱/۰۵۶	۲/۵	۰/۳۵	۸	۰/۱۰۹۴	۰/۱۲۵
M <sup>0.00</sup> LV <sup>3</sup>	۱۳/۰	۰/۴۸۲	۰/۷۵۱	۰/۹۰۲	۲/۵	۰/۳۵	۷	۰/۱۲۵	۰/۱۲۵
KTB <sup>1.00</sup> ALV <sup>3</sup>	۱۳/۰	۰/۳۴۴	۰/۷۵۱	۰/۹۰۲	۲/۵	۰/۳۵	۷	۰/۱۲۵	۰/۱۲۵
KTB <sup>1.00</sup> ALV <sup>3</sup>	۱۳/۰	۰/۳۴۴	۰/۸۲۲	۰/۹۵۶	۲/۵	۰/۳۵	۷	۰/۱۲۵	۰/۱۲۵
KTB <sup>1.00</sup> ALV <sup>3</sup>	۱۳/۰	۰/۳۴۴	۰/۸۱۸	۰/۹۵۵	۲/۵	۰/۳۵	۷	۰/۱۲۵	۰/۱۲۵
KTB <sup>7.50</sup> ALV <sup>3</sup>	۱۳/۰	۰/۳۴۴	۰/۸۴۶	۰/۹۷۳	۲/۵	۰/۳۵	۷	۰/۱۲۵	۰/۱۲۵
KTB <sup>1.25</sup> ALV <sup>3</sup>	۱۳/۰	۰/۳۴۴	۰/۶۴۵	۰/۸۱۸	۲/۵	۰/۳۵	۷	۰/۱۲۵	۰/۱۲۵
KTB <sup>1.00</sup> A <sup>3</sup> LV <sup>3</sup>	۱۳/۰	۰/۳۴۴	۰/۷۰۳	۰/۸۷۴	۲/۵	۰/۳۵	۷	۰/۱۲۵	۰/۱۲۵
KTB <sup>1.00</sup> Ad <sup>3</sup> LV <sup>3</sup>	۱۳/۰	۰/۳۴۴	۰/۸۲۳	۰/۹۵۲	۲/۵	۰/۳۵	۷	۰/۱۲۵	۰/۱۲۵

جدول ۴. مشخصات سازه‌ی تیرها.

طبقه	ابعاد	فولاد طولی بالا پایین	فولاد طولی پایین	ابتدا و انتهای تیر		وسط تیر
				فولاد برشی	فولاد طولی	
۱	۴۰ × ۴۰	۶T20	۸T20	T10@8,75	۳T20	T10@17,5
۲	۴۰ × ۴۰	۶T20	۸T20	T10@8,75	۳T20	T10@17,5
۳	۳۵ × ۳۵	۴T20	۶T20	T10@7,5	۳T20	T10@15
۴	۳۰ × ۳۰	۴T16	۷T16	T10@6,25	۳T16	T10@12,5

شکل ۵. تغییرمکان جانبی نسبی طبقات درجهت X و Y سازه‌های M<sup>0.00</sup>LV<sup>2</sup> و M<sup>0.00</sup>ALV<sup>3</sup>.

۱.۳. بررسی مقایسه‌ی نتایج تحلیل خطی سازه‌های M<sup>0.00</sup>LV<sup>2</sup> و M<sup>0.00</sup>ALV<sup>3</sup> در استاندارد ۲۸۰۰ مورد مطالعه (مقایسه‌ی نتایج تحلیل خطی سازه‌های M<sup>0.00</sup>LV<sup>2</sup> و M<sup>0.00</sup>LV<sup>3</sup>)

- از لحاظ تنش‌های ایجادشده در ستون‌ها، % ۸۷ ستون‌های که تحت نیروهای ایجادشده طبق ضوابط استاندارد ۲۸۰۰ ویرایش ۲ (M<sup>0.00</sup>LV<sup>2</sup>) ویرایش ۳ (M<sup>0.00</sup>LV<sup>3</sup>) طراحی شده‌اند، در ویرایش ۳ (M<sup>0.00</sup>LV<sup>3</sup>) به طور متوسط در حدود ۲۰٪ ضعیف هستند و نسبت تنش موجود به مجاز آن‌ها تا ۱/۲۵ می‌رسد.

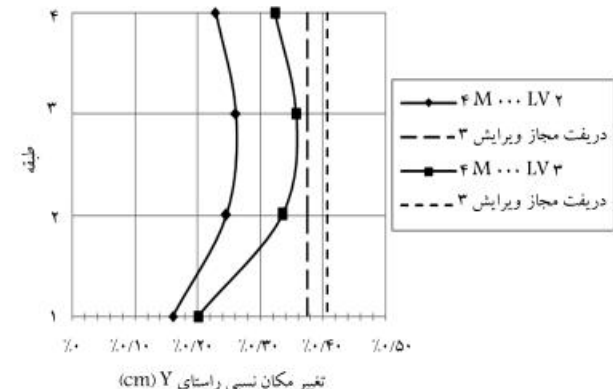
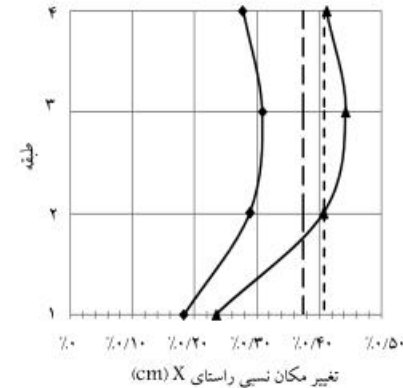
- تغییرمکان جانبی مشخص شده سازه در شکل ۵ نشان می‌دهد که در سازه‌ی M<sup>0.00</sup>LV<sup>2</sup> تغییرمکان طبقات نسبت به سازه‌ی M<sup>0.00</sup>LV<sup>3</sup> افزایش یافته و در طبقه‌ی بام در جهت x از ۲/۸۵ cm به ۳/۳۶ cm و در جهت y از ۴/۸۶ cm به ۳/۹۶ cm افزایش یافته است.

- تغییرمکان جانبی مشخص شده سازه در شکل ۶ نشان می‌دهد که در جهت x هیچ‌یک از سازه‌ها از حد مجاز تجاوز نمی‌کنند، ولی در جهت y در سازه‌ی M<sup>0.00</sup>LV<sup>3</sup> تغییرمکان جانبی نسبی طبقه‌ی سوم از حد مجاز فراتر رفته و به ۴۴٪ رسیده است، در صورتی که مقدار مجاز تغییرمکان جانبی نسبی ۵۰٪ است.

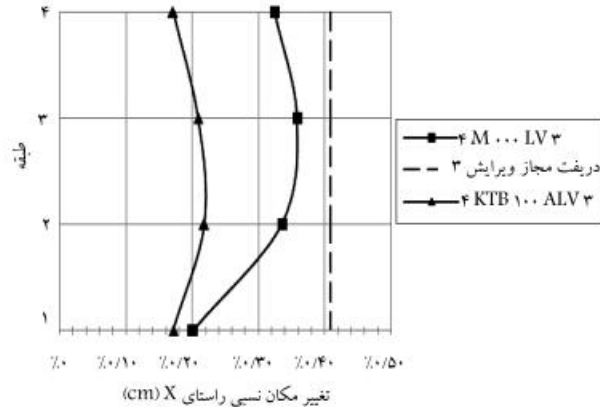
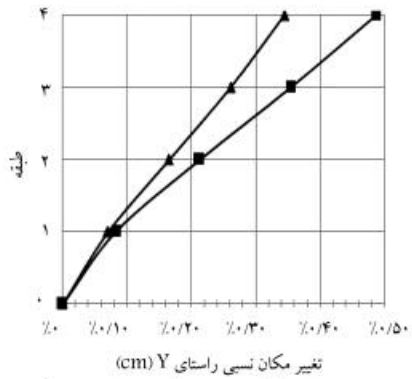
- برش طبقات مشخص شده در شکل ۷ نشان می‌دهد که مقدار برش طبقات در سازه‌ی M<sup>0.00</sup>LV<sup>2</sup> از سازه‌ی M<sup>0.00</sup>ALV<sup>3</sup> در سطح بالاتری است (در حدود ۱/۲۸ برابر)، در نتیجه نیروی بیشتری به سازه وارد می‌شود.

### ۲.۳. بررسی تأثیر مدل دستک در سازه‌ی مورد مطالعه (مقایسه‌ی نتایج تحلیل خطی سازه‌های M<sup>000</sup>ALV<sup>3</sup> و KTB<sup>100</sup>ALV<sup>3</sup>)

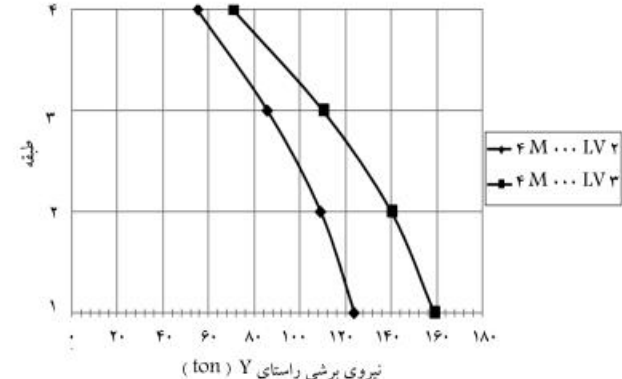
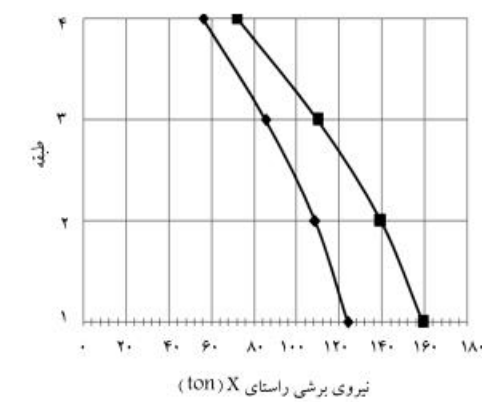
- از لحاظ تنش‌های ایجاد شده در ستون‌ها، کلیدی ستون‌ها در سازه‌ی KTB<sup>100</sup>ALV<sup>3</sup> به استثناء طبقه‌ی همکف، نسبت تنش زیر ۱ دارند، که این امر نشان می‌دهد وضعیت آنها بعد از مدل دستک‌ها بهتر شده است. ضعف در ستون‌های طبقه‌ی همکف کمتر از ۹٪ است. فقط ستون‌های ۴ گوشی ساختمان در طبقه‌ی همکف، که از دو بجهت متصل به دستک هستند، با نسبت تنش ۱/۲۴ هستند و بحرانی قرند. این مسئله به این دلیل است که ستون‌های طبقه‌ی همکف فقط در قسمت بالایی به دستک متصل می‌شوند، زیرا به لحاظ اجرایی در قسمت پایین، اتصال دستک به شالوده کار ساده‌ی نیست و امکان دارد برای دسترسی به پی سازه نیاز به تخریب‌های زیاد باشد و در صورت دسترسی نیز نیاز به کاشت آرماتور داخل شالوده است. در جدول ۵، مقایسه‌ی کاملی از تغییرات در نسبت تنش ستون‌ها ارائه شده است.
- تغییر مکان کلی مشخص شده سازه در شکل ۸ نشان می‌دهد که در سازه‌ی KTB<sup>100</sup>ALV<sup>3</sup> به دلیل مدل کردن دستک‌های فولادی، تغییر مکان طبقات کاهش یافته است، که این کاهش در طبقه‌ی یام در جهت x از ۳/۹۵ cm به ۲/۵۱ cm و در جهت y از ۴/۸۶ cm به ۳/۴۴ cm است و در حدود ۳۷٪ در جهت x و ۲۹٪ در جهت y کاهش می‌یابد.
- مطابق شکل ۹، تغییر مکان طبقات به واسطه‌ی دستک‌های فولادی به مقدار زیادی کاهش یافته است و مقدار آن در بحرانی‌ترین طبقه یعنی طبقه‌ی سوم در



شکل ۶. تغییر مکان جانبی طبقات در جهت X و Y سازه‌های M<sup>000</sup>ALV<sup>2</sup> و M<sup>000</sup>ALV<sup>3</sup>



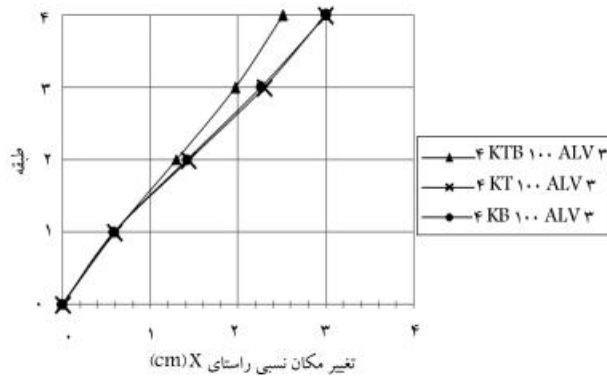
شکل ۸. تغییر مکان جانبی نسبی طبقات در جهات X و Y سازه‌های M<sup>000</sup>ALV<sup>3</sup> و KTB 100 ALV<sup>3</sup>



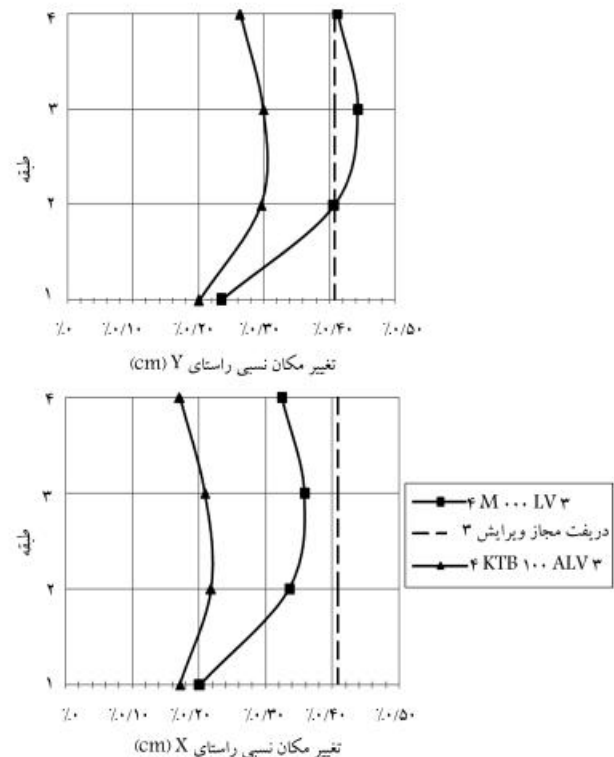
شکل ۷. برش طبقات در جهات X و Y سازه‌های M<sup>000</sup>ALV<sup>2</sup> و M<sup>000</sup>ALV<sup>3</sup>

جدول ۵. مقایسه‌ی نسبت تنش سطون‌های سازه‌های مورد مطالعه.

نام سازه	با درنظرگرفتن گلیمی طبقات			بدون درنظرگرفتن طبقات			نام سازه
	هیکف اسایر طبقات	طبقه‌ی هیکف	بدون درنظرگرفتن طبقات	هیکف اسایر طبقات	طبقه‌ی هیکف	بدون درنظرگرفتن طبقات	
۴KTB100 ALV3	۲۵	۱/۱۳	۸۷/۵	۲۵	۱/۲۶	۸۷/۵	۴M... ALV3
۴KT100 ALV3	۲۸/۳۲	۰/۸۱	۱/۲۴	۱۰۰	۶۲/۵	۰/۸۲	۰/۷۲
۴KB100 ALV3	۱/۱	۱/۲۴	۰	۰	۰	۰	۰



شکل ۱۰. تغییر مکان طبقات در جهات X و Y سازه‌های ۴KTB100 ALV3 و ۴KB100 ALV3 و ۴KT100 ALV3.



شکل ۹. تغییر مکان طبقات در جهات X و Y سازه‌های ۴KTB100 ALV3 و ۴M... ALV3.

که در سازه‌ی ۴KB100 ALV3 ۳۳٪ ستوнаها با نصب دستک در پایین قاب‌ها نسبت تنش بالای ۱ دارند و در سازه‌ی ۴KTB100 ALV3 ۲۵٪ آنها یعنی فقط ستون‌های طبقه‌ی هیکف از لحاظ طراحی و نسبت تنش پاسخ‌گو نیستند. در نتیجه مدل کردن دستک در پایین قاب از این لحاظ بهتر از مدل کردن در بالای قاب است.

\* از لحاظ تغییر مکان کلی و نسبی جانبی طبق شکل‌های ۱۰ و ۱۱، در سازه‌ی ۴KTB100 ALV3 به دلیل وجود دستک در دو طرف (بالا و پایین) و بیشتر و دن تعداد دستک‌ها، تغییر مکان کمتری نسبت به سازه‌های ۴KT100 ALV3 و ۴KB100 ALV3 مشاهده می‌شود و دو سازه‌ی مذکور تقریباً تغییر مکان مساوی دارند.

از لحاظ درصد جذب برش ستون‌های متصل به دستک، همان‌طور که در شکل ۱۲ مشاهده می‌شود، در سازه‌ی ۴KTB100 ALV3 در جهت X بیش

جهت x از ۰/۳۶ به ۰/۲۱ و در جهت y از ۰/۴۴ به ۰/۳ درصد کاهش یافته است، که در حدود ۴۲٪ در جهت x و ۳۲٪ در جهت y کاهش داشته است. یکی از عللی که جهت x نسبت به جهت y کاهش بیشتری در تغییر مکان جانبی نسبی و تغییر مکان داشته است، این است که تعداد دستک‌های مدل شده در جهت x ۱۱ عدد، ولی در جهت y ۸۴ عدد است.

### ۳.۳ بررسی تأثیر محل قرارگیری دستک‌ها در بالا، پایین و یا هر دو حالت (مقایسه‌ی نتایج سازه‌های ۴KTB100 ALV3 و ۴KT100 ALV3 و ۴KB100 ALV3)

\* از لحاظ نسبت تنش ستون، در حدود ۶۳٪ ستون‌های سازه‌ی ۴KTB100 ALV3 در حالی با مدل کردن دستک فقط در بالای قاب‌ها، نسبت تنش بالای ۱ دارند، در حالی

از ۶۰٪ برش طبقه به ستون‌های متصل به دستک وارد می‌شود و این در حالی است که ۵۰٪ ستون‌ها به دستک متصل هستند و همچنین در جهت Y در حدود ۵٪ برش طبقه به ستون‌های متصل به دستک وارد می‌شود، در حالی که ۳۳٪ ستون‌ها به دستک متصل هستند.

در سازه‌ی KTB<sup>100</sup> ALV<sup>3</sup>، تغییرات در جذب برش طبقات یکنواخت‌تر از در سازه‌ی دیگر است، ولی مقدار آن به سازه‌ی KTB<sup>100</sup> ALV<sup>3</sup> نزدیک است. با اضافه شدن دستک در بالا و پایین (سازه‌ی KTB<sup>100</sup> ALV<sup>3</sup>، KTB<sup>100</sup> ALV<sup>3</sup>)، برش بیشتری توسط ستون‌های متصل به دستک جذب شده است.

#### ۴.۳. بررسی تأثیر فاصله‌ی محل اتصال دستک با تیر یا ستون تا

مرکز اتصال تیر و ستون (مقایسه‌ی نتایج سازه‌های

(KTB<sup>125</sup>ALV<sup>3</sup>، KTB<sup>75</sup>ALV<sup>3</sup>، KTB<sup>100</sup> ALV<sup>3</sup>)

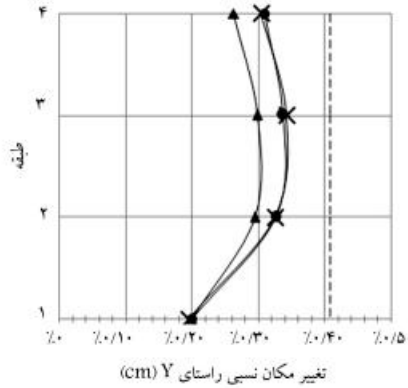
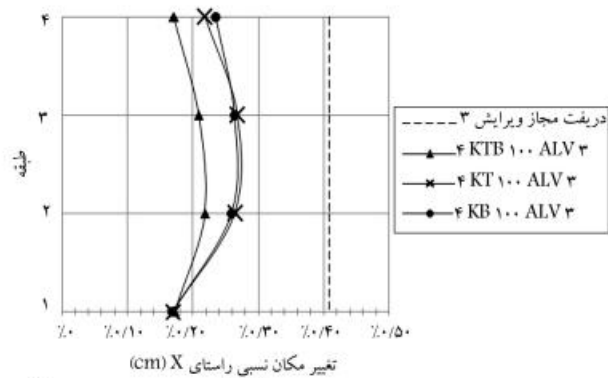
- از لحاظ تنش‌های ایجاد شده در ستون‌ها، در سازه‌ی KTB<sup>75</sup>ALV<sup>3</sup> تا حدود ۲۰٪ نسبت تنش در ستون‌ها نسبت به سازه‌ی KTB<sup>100</sup> ALV<sup>3</sup> افزایش یافته است. با وجود این، همچنان ستون‌های طبقات پاسخ‌گو هستند و به مرز نسبت تنش ۱ رسیده‌اند و فقط ستون‌های طبقه‌ی همکف پاسخ‌گو نیستند. در سازه‌ی KTB<sup>125</sup>ALV<sup>3</sup> تا حدود ۲۰٪ نسبت تنش در ستون‌ها نسبت به سازه‌ی KTB<sup>100</sup> ALV<sup>3</sup> کاهش یافته است و تقریباً کلیه‌ی ستون‌ها به جزء ستون گوشه در طبقه‌ی همکف پاسخ‌گو هستند.

- از لحاظ تغییر مکان جانبی نسبی و کلی تغییر مکان بام در جهت X در سازه‌ی KTB<sup>100</sup> ALV<sup>3</sup> برابر ۲/۵ cm، در سازه‌ی KTB<sup>75</sup>ALV<sup>3</sup> با ۲۴٪ افزایش برابر ۳/۱ cm، و در سازه‌ی KTB<sup>125</sup>ALV<sup>3</sup> با ۲۴٪ کاهش برابر ۱/۹ cm است و در جهت Y در سازه‌ی KTB<sup>100</sup> ALV<sup>3</sup> برابر ۳/۴ cm، در سازه‌ی KTB<sup>75</sup>ALV<sup>3</sup> با ۱۴٪ افزایش برابر ۳/۹ cm، و در سازه‌ی KTB<sup>125</sup>ALV<sup>3</sup> با ۱۴٪ کاهش برابر ۲/۹ cm است. هر چه فاصله‌ی اتصال دستک با تیر یا ستون از محل اتصال تیر و ستون بیشتر باشد، میزان سختی سازه بالا می‌رود و زمان تناوب سازه کمتر می‌شود، در نتیجه تغییر مکان جانبی کاهش می‌یابد (شکل‌های ۱۳ و ۱۴).

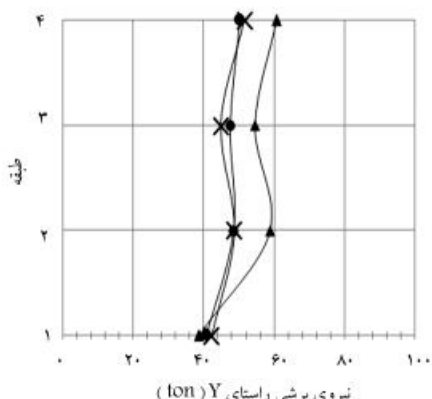
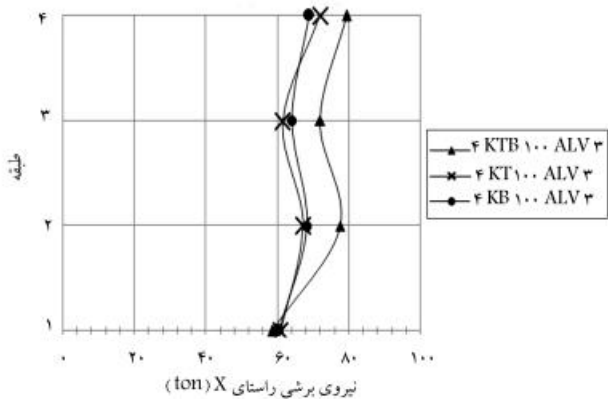
- از لحاظ میزان درصد جذب برش، ستون‌های متصل به دستک طبق شکل ۱۵ به ترتیب در سازه‌های KTB<sup>75</sup>ALV<sup>3</sup> و KTB<sup>100</sup> ALV<sup>3</sup> در حدود ۱۰٪ کاهش و نسبت به سازه‌ی KTB<sup>100</sup> ALV<sup>3</sup> افزایش داشته‌اند.

#### ۵.۳. بررسی تأثیر سطح مقطع دستک (مقایسه‌ی نتایج سازه‌های KTB<sup>100</sup> ALV<sup>3</sup>، KTB<sup>100</sup> A<sup>3</sup>LV<sup>3</sup> و KTB<sup>100</sup> Ad<sup>3</sup>LV<sup>3</sup>)

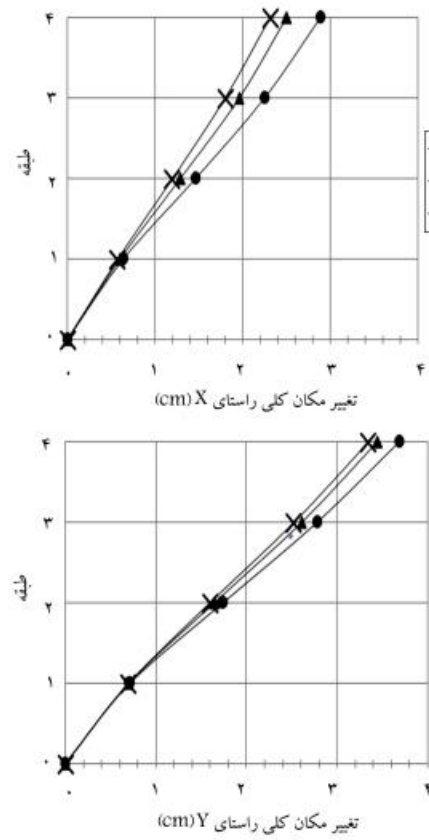
- از لحاظ تنش‌های ایجاد شده در ستون‌ها در سازه‌ی KTB<sup>100</sup> A<sup>3</sup>LV<sup>3</sup> در جهت X در ستون‌های متصل به دستک به طور متوسط در حدود ۵٪ نسبت به سازه‌ی KTB<sup>100</sup> ALV<sup>3</sup> افزایش یافته و بحرانی تر شده است و بالعکس در سایر ستون‌ها ۵٪ کاهش نسبت تنش داشته است. همچنین در سازه‌ی KTB<sup>100</sup> Ad<sup>3</sup>LV<sup>3</sup> در ستون‌های متصل به دستک در محورهای D و C افزایش تنش و در محورهای دیگر کاهش تنش و در سایر ستون‌ها به طور متوسط در حدود ۱۰٪ افزایش تنش داشته است. در جهت Y نیز شرایطی مشابه دارد.



شکل ۱۱. تغییر مکان جانبی نسبی طبقات در جهات X و Y سازه‌های KTB<sup>100</sup> ALV<sup>3</sup>، KTB<sup>100</sup> ALV<sup>3</sup> و KB<sup>100</sup> ALV<sup>3</sup>



شکل ۱۲. درصد جذب برش ستون‌های متصل به دستک در طبقات در جهات X و Y سازه‌های KTB<sup>100</sup> ALV<sup>3</sup> و KTB<sup>100</sup> ALV<sup>3</sup>

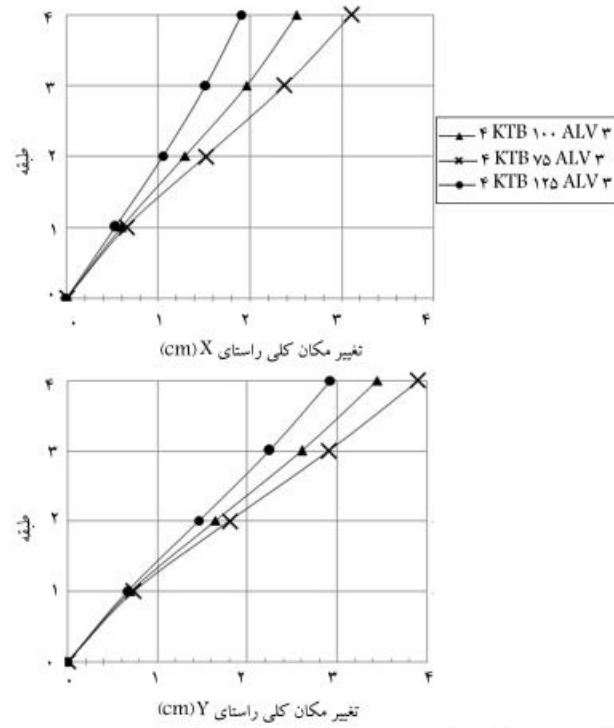


شکل ۱۶. تغییر مکان طبقات در جهات X و Y سازه های KTB ۱۰۰ ALV ۳، KTB ۱۰۰ Ad ۳ LV ۳ و KTB ۱۰۰ A ۳ LV ۳.

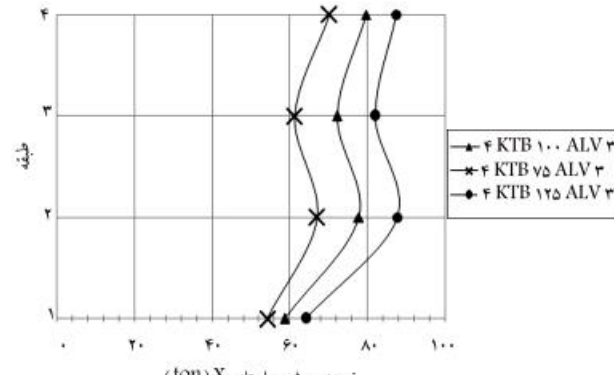
از لحاظ تغییر مکان طبقات شکل ۱۶، سازوی  $\frac{2}{3}$  cm KTB ۱۰۰ A ۳ LV ۳ با KTB ۱۰۰ ALV ۳ تغییر مکان در برابر مقایسه با سازه های  $\frac{2}{5}$  cm KTB ۱۰۰ ALV ۳ داشته است، در حالی که در سازه های  $\frac{2}{7}$  cm KTB ۱۰۰ Ad ۳ LV ۳ و  $\frac{2}{9}$  cm KTB ۱۰۰ A ۳ LV ۳ افزایش داشته است. این حالت نشان می دهد که از لحاظ تغییر مکان، تغییر در مساحت دستک ها از جانبی نسبی طبقات نیز که در شکل ۱۷ مشاهده می شود، صادق است.

از لحاظ درصد جذب برش مطابق شکل ۱۸، سازه های KTB ۱۰۰ A ۳ LV ۳، KTB ۱۰۰ ALV ۳، KTB ۱۰۰ Ad ۳ LV ۳ و KTB ۱۰۰ A ۳ LV ۳ به ترتیب با  $72$ ،  $75$  و  $77$  درصد جذب برش توسط ستون های متصل به دستک داشته اند. همچنین مشاهده می شود که با تغییر مساحت از  $A/3$  به A، در حدود  $7\%$  افزایش جذب برش و از A به  $A/3$  در حدود  $3\%$  افزایش جذب برش ستون های متصل به دستک است، و این نشان می دهد که افزایش سطح مقطع دستک از  $A/3$  به A تأثیر بیشتری در سازه از لحاظ جذب برش گذاشت است.

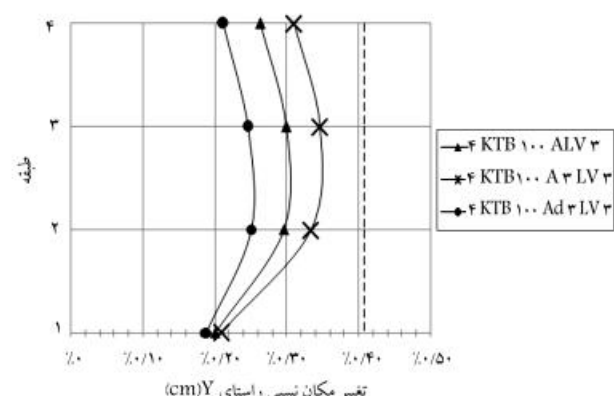
با مشاهده تغییرات می توان نتیجه گرفت هنگامی که سطح مقطع دستک ها از  $A/3$  به A تغییر می باید، با اینکه از نظر نسبت نتش تأثیر کمتری دارد، ولی از لحاظ تغییر مکان کلی و نسبی و جذب برش اثر بیشتری در سازه دارد.



شکل ۱۳. تغییر مکان طبقات در جهات X و Y سازه های KTB ۱۰۰ ALV ۳، KTB ۱۲۵ ALV ۳ و KTB ۷۵ ALV ۳



شکل ۱۴. درصد جذب برش ستون های متصل به دستک در جهات X سازه های KTB ۱۲۵ ALV ۳، KTB ۷۵ ALV ۳ و KTB ۱۰۰ ALV ۳



شکل ۱۵. تغییر مکان جانبی نسبی طبقات در جهات Y سازه های KTB ۱۲۵ ALV ۳، KTB ۷۵ ALV ۳ و KTB ۱۰۰ ALV ۳

#### ۴. تحلیل غیرخطی

کلیه تحلیل های غیرخطی در سطح خطر ۱ مورد بررسی قرار می گیرند و محاسبه هی زمان تناوب سازه طبق روش تجربی دستورالعمل بهسازی لرزه های ساختمان های موجود (نشریه ۳۶۰) است. حالت های بار نقلی و جانبی غیرخطی نیز در برنامه هی SAP ۲۰۰۰ طبق این دستورالعمل وارد شده است. برای محاسبه تغییر مکان هدف با فرض اینکه ساختمان با دیافراگم صلب است، طبق پند ۱-۲-۳-۳-۳ مذکور عمل می شود.<sup>[۱۱]</sup>

#### ۱.۴. نحوی اختصاص مقاصل غیرخطی قاب خمشی در نرم افزار SAP

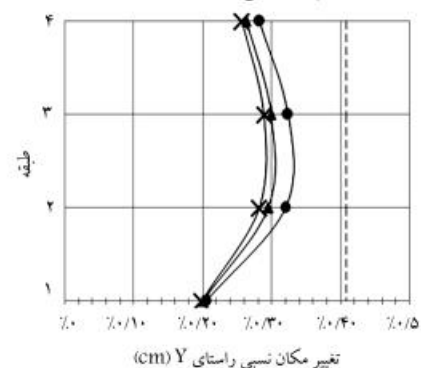
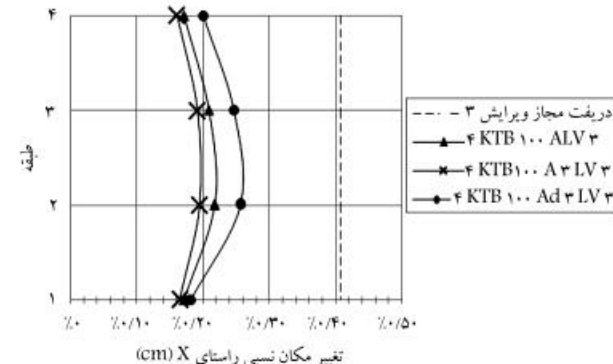
در قاب های خمشی بتن مسلح، مقاصل در تیرها و ستون ها طبق شکل ۱۹ اختصاص می یابند<sup>[۱۷]</sup> این تذکر لازم است که مقصل خمشی در تیر بتنی و حالت اندرکش خمش و بار محوری در ستون بتنی کنترل شونده توسط تغییر شکل و مقصل برشی در تیر و ستون بتنی کنترل شونده توسط نیرو است.

#### ۲.۴. نحوی اختصاص مقاصل غیرخطی قاب خمشی تقویت شده با دستک فولادی در نرم افزار SAP

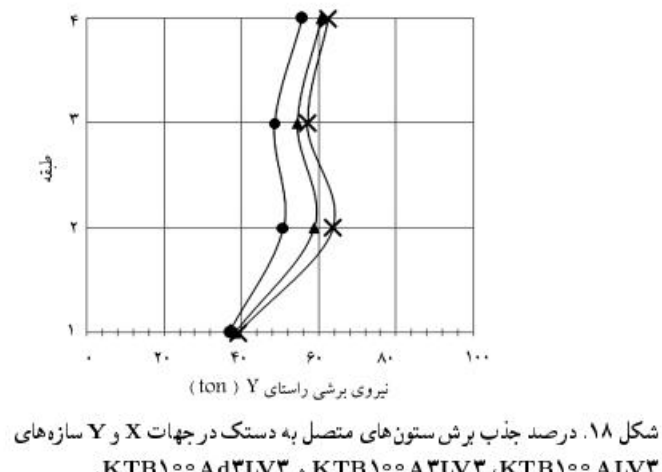
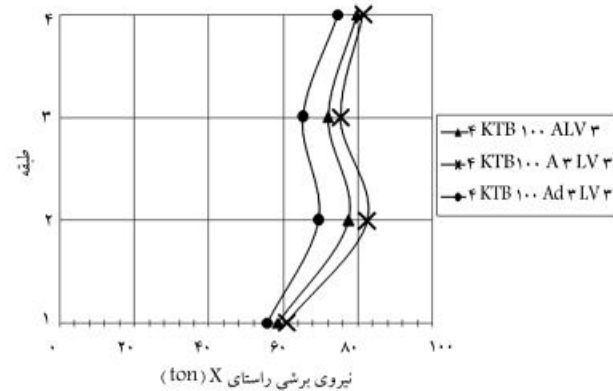
هنگامی که دستک فولادی مدل می شود، در تیرهای متصل به دستک، لنگر خمشی در محل اتصال دستک به تیر بیشترین مقادیر دارد (شکل ۲۰)، لذا مقاصل خمشی در این موقعیت ها نیز تعریف شده اند، ولی مقادیر نیروی برشی در این تیرها و ستون ها متفاوت است. به طور کلی، در بیشتر تیرهای متصل به دستک، مطابق شکل ۲۱ مشخص است که محل برخورد دستک با تیر بحرانی است و در ابتداء و هم انتهای برخی از تیرها مقادیر بیشینه وجود دارد. لذا مقاصل برشی هم در ابتداء و هم در انتهای تیر و هم در محل اتصال دستک با تیر بحرانی است و در تعدادی متصل به دستک لنگر خمشی در محل اتصال دستک بیشینه است و در تعدادی از ستون ها در بالا و پایین مقادیر لنگر بحرانی تر است. نیروی برشی ستون هایی که از یک طرف دستک دارند، در بالا و پایین بحرانی هستند، لذا مقاصل برشی ۷۲ و ۷۳ در ۳ قسمت ستون معرفی شده است. مقاصل PMM هم در ابتداء و انتهای ستون و هم در محل اتصال ستون با دستک معرفی شده اند. در دستک های فولادی، مقاصل نیروی محوری P کنترل شونده از طریق نیرو معرفی شده است.

#### ۳.۴. بررسی تأثیر دستک در سازه های مورد مطالعه (مقایسه نتایج سازه های M۰۰۰N۳۶۰ با M۰۰۰AN۳۶۰)

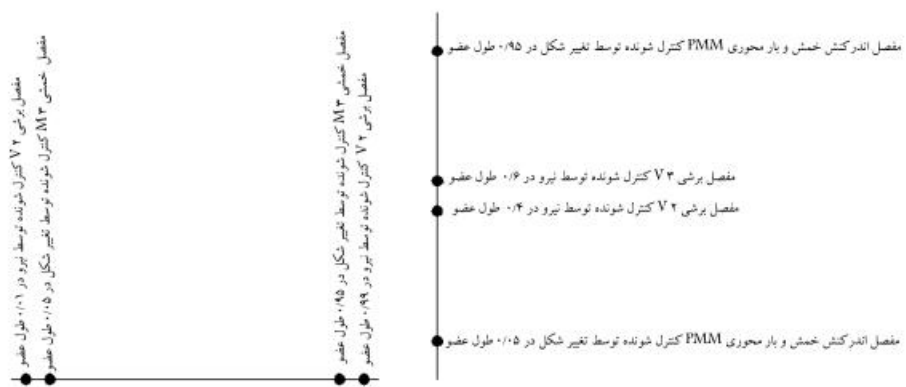
سازه های M۰۰۰N۳۶۰ پس از پوش به تغییر مکان هدف می رسد و در سطح خطر ۱ در سطح عملکرد اینستی جانی قرار می گیرد. اولین مقاصلی که وارد محدوده هی غیرخطی می شوند، در جهت X مفاصل M۳ تیرهای سفت اول با دهانه هی m ۵/۲۰ هستند و در تغییر مکان هدف بیشتر مقاصل تیرها وارد محدوده LS شده ۵/۲۰ هستند. در جهت Y اولین مقاصلی که وارد محدوده هی غیرخطی M۳ تیرهای با دهانه هی m ۵/۵ در طبقه ای اول هستند و در تغییر مکان



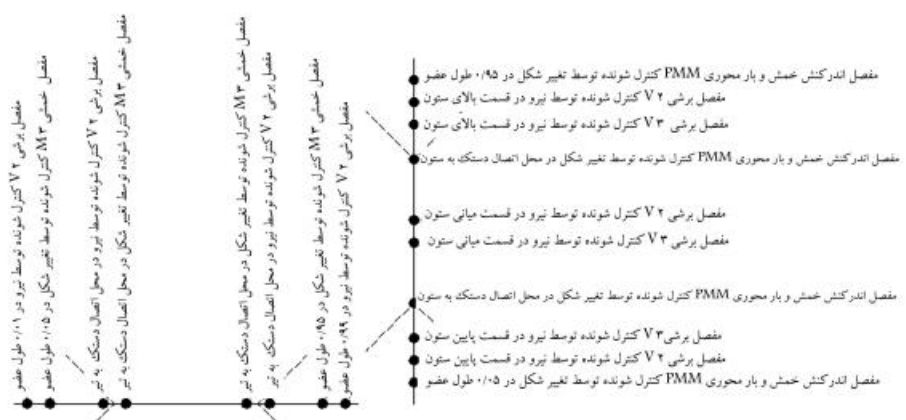
شکل ۱۷. تغییر مکان جانبی نسبی طبقات در جهات X و Y سازه های KTB ۱۰۰۰Ad<sup>۳</sup>LV<sup>۳</sup>, KTB ۱۰۰ A<sup>۳</sup>LV<sup>۳</sup> و KTB ۱۰۰ ALV<sup>۳</sup>



شکل ۱۸. درصد جذب برش ستون های متصل به دستک در جهات X و Y سازه های KTB ۱۰۰ Ad<sup>۳</sup>LV<sup>۳</sup>, KTB ۱۰۰ A<sup>۳</sup>LV<sup>۳</sup>, KTB ۱۰۰ ALV<sup>۳</sup>



شکل ۱۹. نحوی اختصاص مفاصل در تیر و ستون قاب خشی بتن مسلح.



شکل ۲۰. نحوی اختصاص دادن مفاصل در تیر و ستون قاب خشی بتن مسلح تقویت شده با دستک فولادی.

گسیختگی سازه تا ۲۹۴ تن رسیده است، که نسبت به سازه  $M^{0.0} N^{36.0}$  با نیروی جانبی ۲۷۶ تن در حدود ۵/۶٪ افزایش داشته و مقدار تغییرمکان جانبی قابل تحمل آن از  $mm 34$  به  $15 mm$  رسیده و در حدود ۵/۶٪ کاهش داشته است. شکل ۲۴، منحنی ظرفیت دوسازه درجهت Y را نشان می‌دهد، که مطابق آن سازه‌ی  $N^{36.0} M^{0.0} AN^{36.0} KTB^{100}$  افزایش تحمل نیروی جانبی از  $Ton 224$  به  $288 Ton$  یعنی  $5/5٪$  افزایش، و کاهش تغییرمکان جانبی قابل تحمل از  $mm 38$  به  $24 mm$  یعنی حدود  $24٪$  کاهش داشته است.

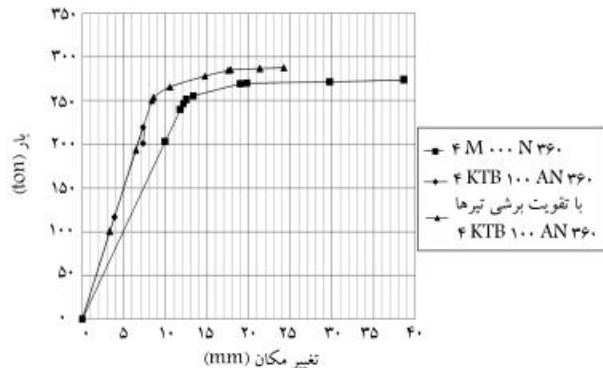
#### ۴.۴. بررسی تأثیر محل قرارگیری دستک‌ها در بالا، پایین و یا هر دو حالت مقایسه‌ی نتایج سازه‌های $KTB^{100} AN^{36.0}$ ، $KT^{100} AN^{36.0}$ ، $KB^{100} AN^{36.0}$ ، و $KT^{100} AN^{36.0}$

- در جهت X در سازه‌های  $KTB^{100} AN^{36.0}$  و  $KT^{100} AN^{36.0}$  اولین مفاصل غیرخطی کنترل شونده توسط تغییرشکل در سازه‌ها پس از تقویت سازه برای برش، در محل اتصال دستک به تیر با دهانه  $m 3/20$  در طبقات اول و دوم تشکیل می‌شود، در سازه  $KB^{100} AN^{36.0}$  تعدادی از مفاصل تشکیل شده در ابتداء و انتهای تیر و تعدادی از آن‌ها در محل اتصال دستک با تیر تشکیل شده‌اند، هر ۳ سازه قبل از رسیدن به تغییرمکان هدف گسیخته می‌شوند، در هر ۳ سازه، اولین مفاصلی که به حد گسیختگی می‌رسند، مفاصل  $M^3$  تیرهای با دهانه‌ی

هدف محاسبه شده توسط برنامه، بیشتر مفاصل تیرها به محدوده‌ی  $LS$  می‌رسند و مفصل  $PMM$  پایی ستون‌های طبقه‌ی همکف نیز به  $LS$  می‌رسد.

پس از پوش تا  $1/5$  برای تغییرمکان هدف سازه  $M^{0.0} N^{36.0}$  (تغییرمکان جانبی نسبی  $2/5٪$ )، تعداد زیادی از مفاصل به سطح عملکرد آستانه‌ی فروریش می‌رسند و سازه در سطح عملکرد آستانه‌ی فروریش قرار می‌گیرد، پس از مدل کردن دستک در سازه  $AN^{36.0} KTB^{100}$ ، مفاصل برشی سازه به سرعت و قبل از رسیدن مفاصل تغییرشکلی به حالت غیرخطی، در تیرها با دهانه  $m 3/20$  در جهت X و تیرهای با دهانه  $m 4/70$  در جهت Y گسیخته و پوش سازه متوقف می‌شود، با این تفاوت که در جهت X، مفاصل برشی در محل اتصال دستک به تیر گسیخته می‌شوند، ولی در جهت Y در ابتداء و انتهای تیر گسیختگی برشی رخ می‌دهد، سپس مفاصل برشی تقویت و مجدد سازه پوش شده است، سازه قبل از رسیدن به تغییرمکان هدف گسیخته می‌شود و مفاصل خمی  $M^3$  تیرهای با دهانه  $m 3/20$  در جهت X در محل اتصال دستک به تیر، به خصوص در طبقات فوقانی که ارتفاع تیر کمتر است، گسیخته می‌شوند (شکل ۲۲)، در جهت Y، سازه به تغییرمکان هدف رسیده و هیچ یک از مفاصل تغییرشکلی گسیخته نشده‌اند، ولی تعداد زیادی از مفاصلی که در محل اتصال دستک به تیر قرار دارند، وارد سطح عملکرد  $CP$  (آستانه فروریش) و پس از آن شده‌اند.

شکل ۲۳، منحنی ظرفیت سازه‌های  $M^{0.0} N^{36.0}$  و  $KT^{100} AN^{36.0}$  در حالت بدون تقویت برشی و با تقویت برشی در جهت X را نمایش می‌دهد، که در آن سازه  $KT^{100} AN^{36.0}$  سختی بیشتری دارد و تحمل نیروی جانبی تا



شکل ۲۴. منحنی ظرفیت سازه‌های  $M^{000}AN^{360}$  و  $KTB^{100}AN^{360}$  در  $KTB^{100}AN^{360}$  در جهت Y برای حالت بار ۱ TRIYPG۱

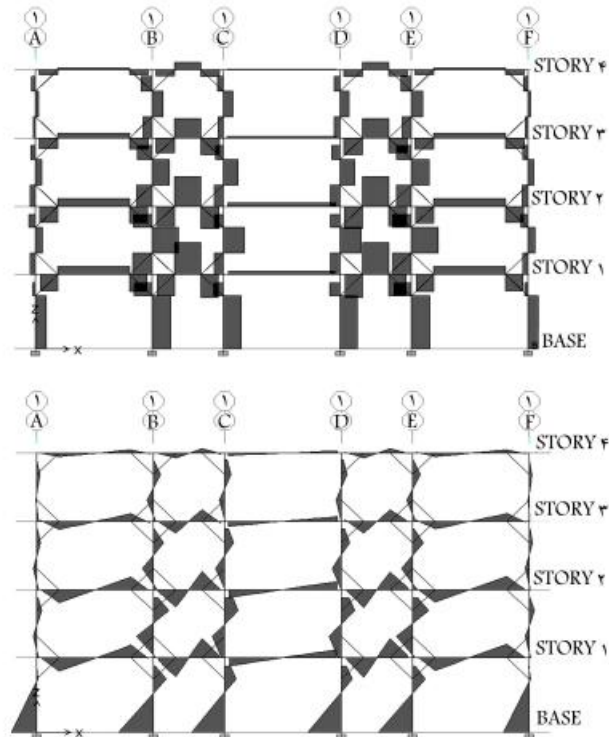
$m^{3/20}$  در محل اتصال دستک به تیر است و در نهایت پس از گسیختگی کل سازه، وضعیت مفاصل به صورت شکل ۲۲ است.

- در جهت Y مانند جهت X در هر ۳ سازه اولین مفاصل تشکیل شده‌اند و مفاصل  $M^3$  تیرها در محل اتصال دستک به تیر است، با این تفاوت که در سازه‌ی  $KTB^{100}AN^{360}$  ابتدا در محل اتصال دستک فشاری با تیر، مفاصل تشکیل می‌شوند.

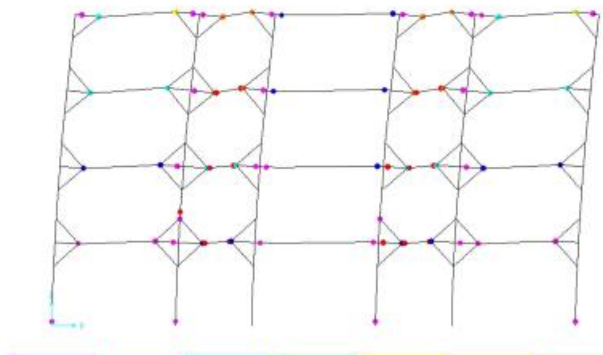
سازه‌ی  $AN^{360}$  در تغییرمکان هدف در سطح عملکرد CP قرار می‌گیرد و در  $1/0^9$  برابر تغییرمکان هدف گسیخته می‌شود. سازه‌ی  $KTB^{100}AN^{360}$  در تغییرمکان هدف در سطح عملکرد CP قرار می‌گیرد و در  $4/0^4$  برابر تغییرمکان هدف گسیخته می‌شود و سازه‌ی  $KTB^{100}AN^{360}$  قبل از رسیدن به تغییرمکان هدف گسیخته می‌شود. اولین مفاصلی که در هر ۳ سازه گسیخته می‌شوند، مطابق شکل‌های ۲۵ تا ۲۷ مفاصل  $M^3$  تیر با دهانه کوچکتر  $m^{4/70}$  در محل اتصال دستک به تیر است، با این تفاوت که در سازه‌ی  $AN^{360}$  ابتدا در محل اتصال دستک فشاری است، گسیخته می‌شود؛ ولی در سازه‌ی  $AN^{360}$  هر دو مفصل در محل دستک‌ها، شرایط تقریباً یکسان دارند. منحنی ظرفیت هر ۳ سازه در جهت‌های X و Y به ترتیب در شکل‌های ۲۸ و ۲۹ و  $AN^{360}$  در سازه‌ی  $KTB^{100}AN^{360}$  و  $KTB^{100}AN^{360}$  نشان داده شده است. دو سازه‌ی  $AN^{360}$  و  $KTB^{100}AN^{360}$  رفتاری مشابه دارند و منحنی ظرفیت آنها تقریباً متنطبق است، ولی سازه‌ی  $AN^{360}$  در سازه‌ی  $KTB^{100}AN^{360}$  سختی بیشتری دارد.

#### ۵.۴. بررسی تأثیر فاصله‌ی اتصال دستک با تیر یا ستون تا مرکز اتصال تیر و ستون ( مقایسه‌ی نتایج سازه‌های $KTB^{100}AN^{360}$ ، $KTB^{100}AN^{360}$ و $KTB^{125}AN^{360}$ )

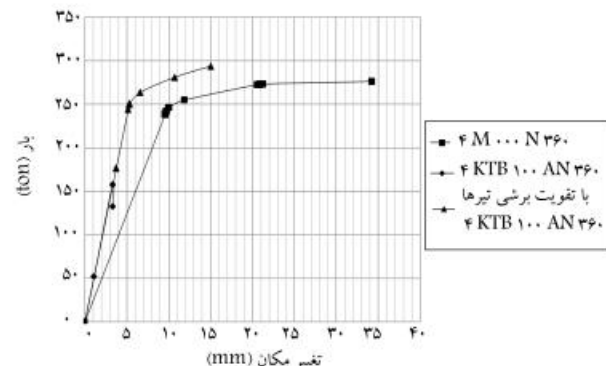
در جهت X در سازه‌ی  $KTB^{100}AN^{360}$ ، همان‌طور که قبل ایان شده است، اولین مفاصل کترل شونده توسط تغییرشکل که وارد ناحیه‌ی غیرخطی می‌شوند، مفاصل  $M^3$  در تیرهای با دهانه‌ی  $m^{3/20}$  در طبقات ۱ و ۲ در طبقات اول و دوم در محل برخورد دستک با تیر ایجاد می‌شود. در سازه‌ی  $KTB^{125}AN^{360}$  ابتدا مفاصل  $M^3$  در ابتداء و انتهای تیرهای با دهانه‌ی  $m^{5/20}$  در طبقات ۲ و ۳ وارد ناحیه‌ی غیرخطی می‌شود و در سازه‌ی  $KTB^{125}AN^{360}$  در تیرهای با دهانه‌ی  $m^{3/20}$  در محل برخورد دستک با تیر تشکیل می‌شود، با این تفاوت که این مفاصل زودتر از دو سازه‌ی دیگر وارد ناحیه‌ی غیرخطی می‌شوند.



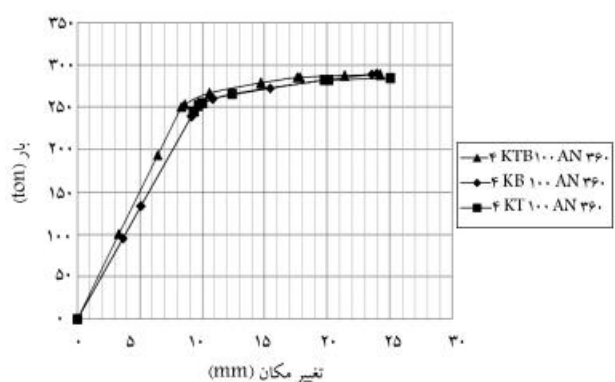
شکل ۲۱. نمودار برش و خمش در تیر و ستون قاب خمشی تقویت شده با دستک فولادی تحت بار جانبی.



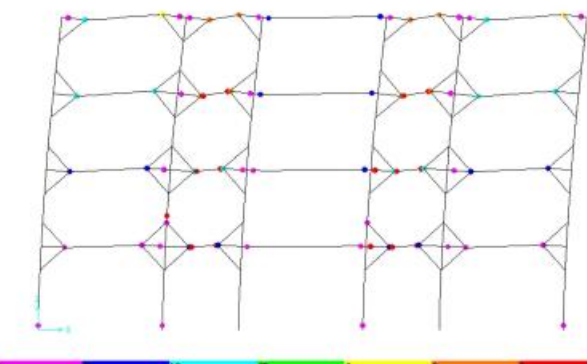
شکل ۲۲. مفاصل در جهت X در سازه‌ی  $KTB^{100}AN^{360}$  در حالت بار TRIXPG۱ پس از تقویت برشی ایانها.



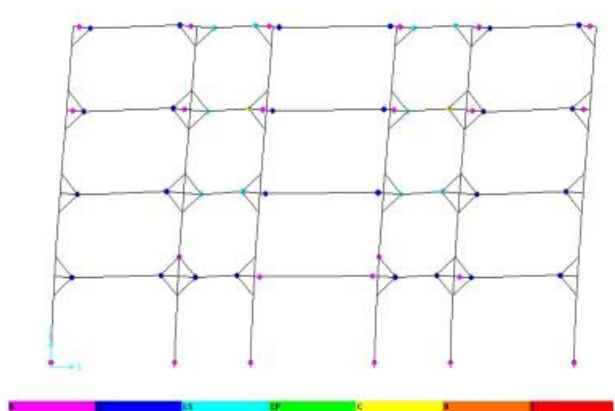
شکل ۲۳. منحنی ظرفیت سازه‌های  $M^{000}AN^{360}$  و  $KTB^{100}AN^{360}$  در  $KTB^{100}AN^{360}$  در جهت X برای حالت بار ۱ TRIXPG۱



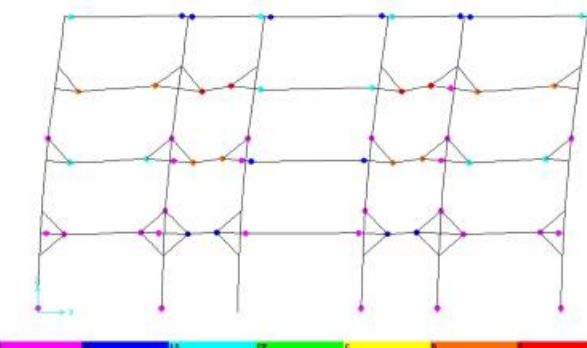
شکل ۲۹. منحنی ظرفیت سازه‌های KTB100 AN360، KTB100 AN360 و KT100 AN360 در جهت Y برای حالت بار TRIYPG1



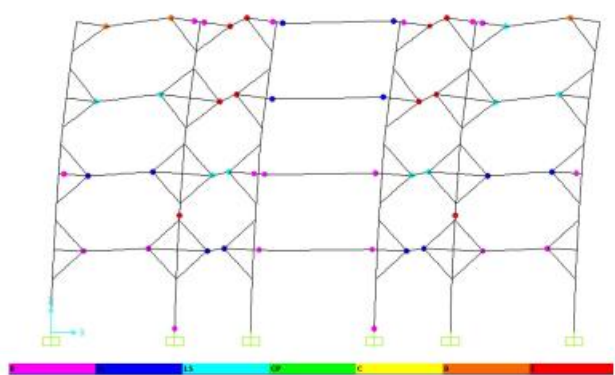
شکل ۲۵. مفاصل تشکیل شده در جهت X در سازه KTB100 AN360 در حالت بار TRIYPG1 در هنگام گسیختگی سازه.



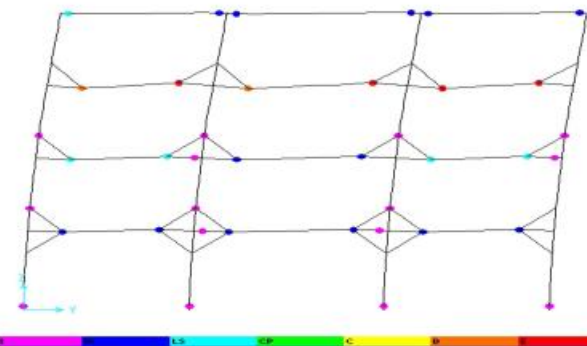
شکل ۳۰. مفاصل تشکیل شده در جهت X در سازه KTB75AN360 در حالت بار TRIYPG1 در هنگام گسیختگی سازه.



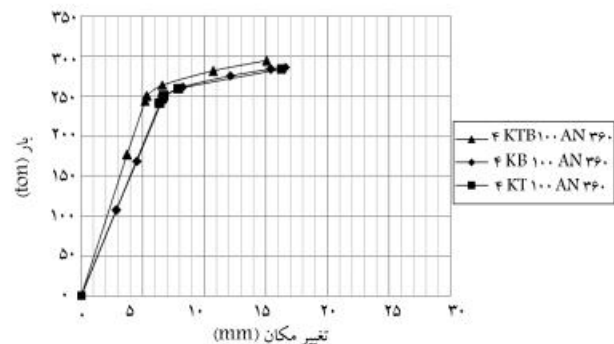
شکل ۲۶. مفاصل تشکیل شده در جهت X در سازه KB100 AN360 در حالت بار TRIYPG1 در هنگام گسیختگی سازه.



شکل ۳۱. مفاصل تشکیل شده در جهت X در سازه KTB125AN360 در حالت بار TRIYPG1 در هنگام گسیختگی سازه.



شکل ۲۷. مفاصل تشکیل شده در جهت Y در سازه KB100 AN360 در حالت بار TRIYPG1 در هنگام گسیختگی سازه.



شکل ۲۸. منحنی ظرفیت سازه‌های KTB100 AN360، KTB100 AN360 و KT100 AN360 در جهت Y برای حالت بار KB100 AN360 در هنگام گسیختگی سازه.

## ۵. نتیجه‌گیری

با توجه به نتایج حاصل از تحلیل سازه های مورد مطالعه و همچنین جدول ها و نمودارهای ارائه شده، خلاصه‌ی نتایج در مورد رفتار خطی سازه های با قاب خمشی بتن مسلح تقویت شده با دستک فولادی بدین شرح ارائه شده است:

— پس از کنترل سازه های طراحی شده طبق ضوابط ویرایش ۲ استاندارد ۲۸۰۰ با ویرایش ۳، مشاهده شده است که با توجه به افزایش نیروی جانبی در ویرایش ۳ استاندارد ۲۸۰۰ تا ۲۹٪ نسبت به ویرایش ۲، نسبت تنش های المان ها به طور متوسط در حدود ۱۱ تا ۱۳ درصد از حد مجاز فراز رفته و ضعیف تلقی شده و در بحرانی ترین حالت، تا ۲۶٪ ضعیف است. همچنین تغییر مکان جانبی تسبیب طبقات افزایش یافته و از حد مجاز فراز رفته است.

— پس از مدل کردن دستک های فولادی در سازه های قاب خمشی بتن مسلح، میزان تغییر مکان و تغییر مکان جانبی تسبیب سازه به مقدار قابل توجهی کاهش یافته است که تا حدود ۱۲۰٪ رسیده است.

— بیشتر ستون هایی که در سازه های بدون دستک طبق ضوابط طراحی پاسخ گو نبوده و نسبت تنش بالای ۱ داشته اند، با مدل کردن دستک های فولادی نسبت تنش آن ها کاهش یافته و به زیر عدد ۱ رسیده و در شرایط بهتری قرار گرفته اند.

— با مقایسه نحوی چیدمان دستک های در بالا یا پایین و یا هر دو (بالا و پایین)، مشاهده شده است که بهترین حالت از لحاظ نسبت تنش به ترتیب بدین شرح است: ۱. سازه با نصب دستک در هر دو حالت بالا و پایین، که ۲۵٪ ستون ها نسبت تنش بالای ۱ دارند؛ ۲. سازه با نصب دستک در پایین، که ۳۳٪ ستون ها نسبت تنش بالای ۱ دارند؛ ۳. سازه با نصب دستک در بالا که ۶۳٪ ستون ها نسبت تنش بالای ۱ دارند.

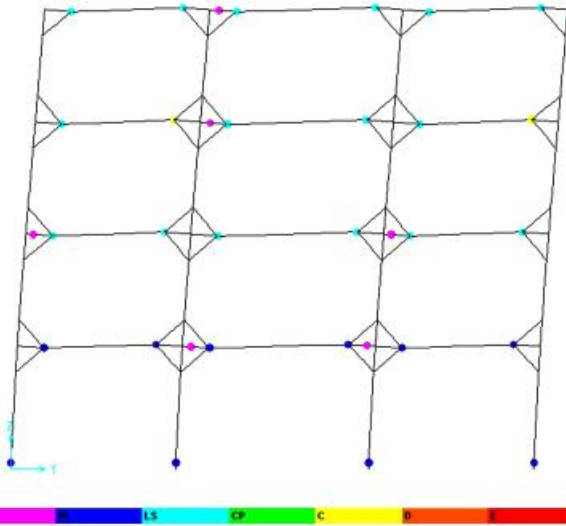
— با افزایش فاصله ای اتصال دستک با تیر یا ستون نسبت به مرکز اتصال تیر و ستون مشخص شده است که سختی سازه افزایش و تغییر مکان و تغییر مکان جانبی نسبی سازه کاهش یافته و جذب برش توسط ستون های متصل به دستک بیشتر شده است و از لحاظ نسبت تنش نیز با افزایش فاصله نسبت تنش ستون ها کاهش یافته است، که این تغییرات تقریباً به صورت خطی است.

— تغییر در سطح مقطع دستک های فولادی در حالت تغییر از A/۳ به A در کاهش نسبت تنش ستون ها حدود ۲ برابر در کاهش تغییر مکان حدود ۳ برابر و در افزایش جذب برش ستون های متصل به دستک در حدود ۲/۵ برابر مؤثرتر از حالت A به ۳A بوده است.

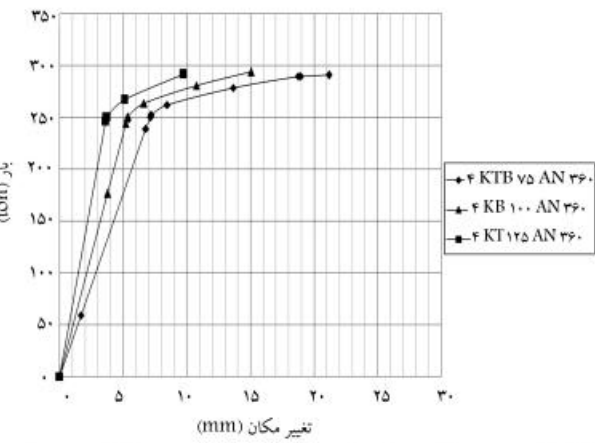
خلاصه نتایج حاصل از رفتار غیرخطی سازه های با سیستم قاب خمشی بتن مسلح تقویت شده با دستک فولادی به این صورت بیان می شود:

— با مدل کردن دستک در کلیه سازه های محل تشکیل مفاصل غیرخطی و قسمت بحرانی المان های خمشی از بر اتصال تیر و ستون به محل اتصال دستک به تیر یا ستون منتقل می شود و بیشتر مفاصل در قاب هایی که دستک دارند، تشکیل می شود.

— با مدل کردن دستک در کلیه سازه های، نیروی برشی زیادی به اجزاء تیر و ستون بتن مسلح وارد می شود و این اعضا به سرعت و قبل از تشکیل اولین مفاصل کنترل شونده توسط تغییر شکل، دچار گسیختگی تحت نیروی برشی می شوند و شکست سازه کاملاً ترد است، لذا حتماً باید برای برش تقویت شوند.



شکل ۳۲. مفاصل تشکیل شده در جهت Y در سازه های KTB۷۵AN۳۶۰ در حالت TRIYPG1 در هنگام گسیختگی سازه.



شکل ۳۳. منحنی ظرفیت سازه های KTB۱۰۰AN۳۶۰، KTB۷۵AN۳۶۰ و KTB۱۲۵AN۳۶۰ در جهت X برای حالت بار TRIXPG1.

در جهت Y در سازه های KTB۱۰۰AN۳۶۰ و KTB۱۲۵AN۳۶۰ در سازه های KTB۱۰۰AN۳۶۰ ابتدا مفاصل M۳ تیرها در محل برخورد دستک به تیر و بیشتر در طبقات پایین وارد محدوده غیرخطی شده و در سازه های KTB۷۵AN۳۶۰ علاوه بر این مفاصل، برخی از مفاصل ابتدا و انتهای تیرها نیز وارد محدوده غیرخطی شده اند.

در هر ۳ سازه اولین مفاصلی که به حد گسیختگی رسیده اند، مفاصل M۳ تیرهای با دهانه m ۴/۷۰ و در محل اتصال دستک با تیر هستند و سازه های KTB۷۵AN۳۶۰، KTB۱۰۰AN۳۶۰ و KTB۱۲۵AN۳۶۰ به ترتیب در ۱۹/۱۰، ۱۹/۱۰ و ۱۹/۸۹ تغییر مکان هدف گسیخته شده اند.

منحنی ظرفیت ۳ سازه که در شکل ۳۳ نمایش داده شده است، نشان می دهد هر چه فاصله ای محل اتصال دستک با تیر یا ستون تا مرکز اتصال تیر ستون بیشتر می شود، سختی سازه بیشتر می شود؛ ولی سازه در محدوده غیرخطی تغییر مکان کمتری از خود نشان می دهد. همان گونه که در جدول ۶ مشخص است، با مقایسه تغییر مکان و مقاومت نهایی سازه های نتایج حاصل می شود که در قسمت نتیجه گیری ارائه شده است.

جدول ۶. مقایسه‌ی تغییرمکان و مقاومت سازه‌ها.

درصد افزایش در مقاومت سازه پس از مدل دستک		درصد کاهش در تغییرمکان سازه		درصد تغییرمکان جانبی نسبی نهایی		مقاومت نهایی		تغییرمکان نهایی		سازه	
Y	X	Y	X	Y	X	Y	X	Y	X	Y	X
۰	۰	۰	۰	۳/۰	۲/۶	۲۷۳/۵	۲۷۶/۱	۳۸/۷	۳۴/۲	M۰۰۰-N۳۶۰	
۵/۳	۶/۴	۳۷/۴	۵۶/۱	۱/۸	۱/۱	۲۸۷/۹	۲۹۳/۸	۲۴/۲	۱۵/۰	KTB۱۰-AN۳۶۰	
۳/۶	۲/۶	۵۶/۴	۱۱۹/۹	۱/۹	۱/۲	۲۸۳/۹	۲۸۳/۶	۲۵	۱۶/۲	KT۱۰-AN۳۶۰	
۵/۴	۳/۵	۶۰/۶	۱۰۸/۸	۱/۸	۱/۳	۲۸۸/۷	۲۸۵/۹	۲۳/۵	۱۶/۶	KB۱۰-AN۳۶۰	
۲/۱	۵/۱	۳۹/۸	۷۹/۰	۲/۲	۱/۶	۲۷۹/۵	۲۹۰/۸	۲۹/۳	۲۱/۱	KTB۷۵AN۳۶۰	
۸/۴	۵/۴	۷۲/۹	۱۱۵/۷	۱/۳	۰/۷	۲۹۷/۱	۲۹۱/۸	۱۷/۳	۹/۸	KTB۱۲۵AN۳۶۰	

— هر چه فاصله‌ی محل اتصال دستک فولادی به تیر یا ستون از مرکز اتصال تیر و ستون بیشتر باشد، سختی سازه افزایش می‌یابد، و شکست آن ترددتر می‌شود. با توجه به برش پایه‌ی نهایی ثابت در سازه‌های مختلف، تغییرمکان نهایی با افزایش این فاصله، کاهش می‌یابد.

— مدل کردن دستک فولادی در قاب خمشی بتن مسلح، طبق منحنی‌های ظرفیت ارائه شده، در مقاومت سازه‌های کوتاه‌مرتبه تأثیر چندانی نداشته است و به میزان بیشینه تا ۸/۴٪ افزایش و در مقابل تغییرمکان نهایی کاهش چشمگیر تا حدود ۱۲٪ داشته است.

— با مدل کردن دستک‌ها در دهانه‌های بزرگتر سازه می‌توان نتایج بهتری داشت و همچنین مفاصل در دهانه‌های بزرگتر دیرتر به حد گسیختگی می‌رسند.

— سازه‌ی قاب خمشی بتن مسلح بدون دستک فولادی در تغییرمکان هدف در سطح عملکرد اینمی جانی (LS) (قرار می‌گیرد، ولی سازه‌ی قاب خمشی بتن مسلح تقویت شده با دستک فولادی و پس از تقویت اجزاء برای نیروهای برشی وارد در تغییرمکان هدف، در سطح عملکرد پایین تر یعنی آستانه‌ی فروریزش (CP) (قرار می‌گیرد و حتی در برخی موارد به تغییرمکان هدف نمی‌رسد و قبل از تغییرمکان هدف فرو می‌ریزد).

— در کلیه‌ی سازه‌ها با مدل کردن دستک، سختی سازه افزایش یافته است.

— در بررسی تأثیر محل مدل کردن دستک در بالا و پایین، فقط بالا و فقط پایین با توجه به منحنی‌های پوش ارائه شده تفاوت محسوسی در ۳ نوع سازه، به جز تفاوت‌های جزئی در روند تشکیل مفاصل خمیری، مشاهده نشده است.

## منابع (References)

1. Maher, M.R. and Ghaffarzadeh, H. "Connection over-strength in steel-braced RC frames", *Engineering Structures*, **30**(7), pp. 1938-1948 (July 2008).
2. Badux, M. and Jirsa, J.O. "Steel bracing of RC frames for seismic retrofitting", *Journal of Structural Engineering, ASCE*, **116**(1), pp. 55-74 (1990).
3. Maher, M.R., Kousari, R. and Razazan, M. "Pushover tests on steel X-braced and knee-braced RC frames", *Engineering Structures*, **25**(13), pp. 1697-1705 (2003).
4. Taskin, K., Karadogan, H.F., Yardimci, N., Yorgun, C. and Yuksel, E. "Experimental work on retrofitting of 1/3 scale RC frames with simple steel braces", *14th European Conference on Earthquake Engineering*, Ohrid, Republic of Macedonia, (August 30- September 03 2010).
5. Sharbatdar, M.K., Kheyroddin, A. and Emami, E. "Cyclic performance of retrofitted reinforced concrete beam-column joints using prop", *Construction and Building Materials*, **36**, pp. 287-294 (2012).
6. *Iranian Code of Practice for Seismic Resistant Design of Buildings*, (2nd Edition), Standard No. 2800-99, Building and Housing Research Center of Iran (BHRC).
7. *Iranian Code of Practice for Seismic Resistant Design of Buildings*, (3rd Edition), Standard No. 2800-05, Building and Housing Research Center of Iran (BHRC).
8. *Iranian Code of Practice for Seismic Resistant Design of Buildings*, Chapter 6, Building and Housing Research Centre, Tehran, Iran (2005).
9. *Iranian Code of Practice for Seismic Resistant Design of Buildings*, Chapter 6, Building and Housing Research Centre, Tehran, Iran (2005).
10. ACI Committee 318, *Building Code Requirements for Structural Concrete (ACI 318-99)*, American Concrete Institute, Farmington Hills, Mich. (1999).
11. *Management and Planning Organization, Instruction for Seismic Rehabilitation of Existing Buildings: No. 360*, Office of Deputy for Technical Affairs, Technical Criteria Codification & Earthquake Risk Reduction Affairs Bureau (2007).
12. Kheyroddin, A. and Mortezaei, A. "The effect of element size and plastic hinge characteristics on nonlinear analysis of RC frames", *Iranian Journal of Science & Technology, Transaction B, Engineering*, **32**(B5), pp. 451-470 (2008).